



## Evaluation of Random Forest and Hybrid Time Series Models in Bivariate Simulation of Electrical Conductivity

Emad Mahjoobi<sup>✉</sup>

Corresponding Author, Department of Water and Environmental Engineering, Faculty of Civil Engineering, Shahrood University of Technology, Shahrood, Iran. E-mail: [emahjoobi@shahroodut.ac.ir](mailto:emahjoobi@shahroodut.ac.ir)

---

### Article Info

### ABSTRACT

**Article type:**

Research Article

**Article history:**

Received: 22 June 2022

Received in revised form:

17 August 2022

Accepted: 04 September 2022

Published online:

25 December 2022

**Keywords:**

Autocorrelation,

Conditional variance,

Nonlinear model,

Urmia Lake.

The quality parameters of the river, including electrical conductivity, are highly dependent on changes in flow rate. Adding the flow rate parameter to the simulation of this parameter can increase the certainty of the simulation results. For this reason, in this study, random forest, CARMA and CARMA-GARCH models were used to model the electrical conductivity values in Gerdyaghoub, Kutar and Bitas stations in Mahabadchay basin, taking into account the flow rates. In this regard, the monthly values of electrical conductivity and flow discharge in the statistical period 1986-2018 were used. The results were analyzed using Nash-Sutcliffe statistics, root mean square error and violin plot. The results of evaluation the root mean square error and Nash-Sutcliffe statistics showed that the simulation results of CARMA-GARCH model compared to CARMA model in Bitas and Kuter stations as well as the training step in Gerdyaghoub station were improved. The results showed that the combination of nonlinear and linear models could improve the modeling error in three stations, Gerdyaghoub, Kotar and Bitas in the training step of 9.56, 9.70 and 21.68 percent. By examining the violin plots, the results showed acceptable accuracy and performance of CARMA and CARMA-GARCH models compared to the random forest model. In general, the results showed that time series models have higher accuracy in bivariate simulating of electrical conductivity values in the study area.

---

**Cite this article:** Mahjoobi, E. (2022). Evaluation of Random Forest and Hybrid Time Series Models in Bivariate

Simulation of Electrical Conductivity. *Journal of Water and Irrigation Management*, 12 (4), 729-745.

DOI: <http://doi.org/10.22059/jwim.2022.344836.1003>



© The Author(s).

DOI: <http://doi.org/10.22059/jwim.2022.344836.1003>

Publisher: University of Tehran Press.



امنیت دانشگاه تهران

شماره اکتوبری: ۹۹-۹۸۲-۲۳۸۲

# مدیریت آب و آبادی

Homepage: <https://jwim.ut.ac.ir/>

## ارزیابی مدل‌های جنگل تصادفی و هیبریدی سری زمانی در شبیه‌سازی دومتغیره هدایت الکتریکی

✉ عmad محبوبی

نویسنده مسئول، گروه مهندسی آب و محیط زیست، دانشکده مهندسی عمران، دانشگاه صنعتی شهرورد، شهرورد، ایران. رایانمایی: [emahjoobi@shahroodut.ac.ir](mailto:emahjoobi@shahroodut.ac.ir)

اطلاعات مقاله	چکیده	نوع مقاله: مقاله پژوهشی	
تاریخ دریافت:	۱۴۰۱/۰۴/۰۱	پارامترهای کیفی رودخانه اعم از هدایت الکتریکی وابستگی زیادی به تعییرات دبی جریان دارند.	
تاریخ بازنگری:	۱۴۰۱/۰۵/۲۶	اضافشدن پارامتر دبی جریان به شبیه‌سازی این پارامتر می‌تواند قطعیت نتایج شبیه‌سازی را افزایش دهد. به همین دلیل در این مطالعه جهت مدل سازی مقادیر هدایت الکتریکی در ایستگاه‌های گردیعقوب، کوترا و بیطاس در زیرحوضه مهابادچای با درنظر گرفتن مقادیر دبی جریان، از مدل‌های جنگل تصادفی، CARMA و CARMA-GARCH استفاده شد. در این خصوص از مقادیر ماهانه هدایت الکتریکی و دبی جریان در دوره آماری ۱۳۹۷ تا ۱۳۶۵ بهره گرفته شد. نتایج بررسی‌ها با استفاده از آماره نش-ساتکلیف، جذر میانگین مربعات خطأ و نمودار ویالونی نوردیررسی و مقایسه قرار گرفت. مقادیر آماره‌های جذر میانگین مربعات خطأ و نش-ساتکلیف بیانگر بهبود نتایج شبیه‌سازی مدل CARMA-GARCH نسبت به مدل CARMA در دو ایستگاه بیطاس و کوترا و همچنین مرحله آموزش در ایستگاه گردیعقوب بود. نتایج نشان داد که تلفیق مدل غیرخطی و خطی توانسته است میزان خطای مدل سازی را در هر سه ایستگاه گردیعقوب، کوترا و بیطاس در مرحله آموزش بهتر ترتیب ۹/۵۶، ۹/۷۰ و ۲۱/۶۸ درصد بهبود بخشد. بررسی نمودارهای ویالونی حاکی از دقت و عملکرد قابل قبول مدل‌های CARMA و CARMA-GARCH مدل‌های سری زمانی از دقت بالاتری در شبیه‌سازی دومتغیره مقادیر هدایت الکتریکی در منطقه موردمطالعه برخوردار هستند.	کلیدواژه‌ها: خودهمبسته، دریاچه ارومیه، مدل غیرخطی، واریانس شرطی.
تاریخ پذیرش:	۱۴۰۱/۰۶/۱۳		
تاریخ انتشار:	۱۴۰۱/۱۰/۰۴		

استناد: محبوبی، ع (۱۴۰۱). ارزیابی مدل‌های جنگل تصادفی و هیبریدی سری زمانی در شبیه‌سازی دومتغیره هدایت الکتریکی. نشریه مدیریت آب و آبادی، ۱۲ (۴)، ۷۳۹-۷۴۵. DOI: <http://doi.org/10.22059/jwim.2022.344836.1003>



© نویسندهان

ناشر: مؤسسه انتشارات دانشگاه تهران

## ۱. مقدمه

تخمین پارامترهای مختلف هواشناسی و هیدرولوژیک به دلیل تصادفی بودن ماهیت آن‌ها و همچنین تأثیر عوامل مختلف، با چالش‌های فراوانی رو به رو است. تخمین مقادیر یادشده از جنبه‌های مختلف از جمله تکمیل و تطویل دوره آماری، بررسی تغییرات اقلیمی، پایش منابع آب و غیره از اهمیت زیادی برخوردار است. برای مثال در زمینه تغییرات کیفی رودخانه در یک حوضه، تغییرات کمی نیز دارای اهمیت بوده و باید در نظر گرفته شود. پیش‌بینی پارامترهای کیفیت آب نقش مهمی در منابع آب و سامانه‌های زیستمحیطی ایفا می‌کند. امروزه در خصوص شبیه‌سازی‌ها در علوم آب، تکنیک‌ها و ابزار زیادی مورد استفاده قرار می‌گیرد که هر کدام معاوی و مزایای خود را دارد. Thakur *et al.* (2011) به بررسی و شبیه‌سازی مقادیر هدایت الکتریکی (EC) در یک سایت فیلتراسیون رودخانه‌ای پرداختند. آن‌ها خصروت این مطالعه را در افزایش EC پس از عبور آب از محیط متخلخل به‌واسطه جذب املاح خاک عنوان کردند. بر این اساس از یک رویکرد احتمالی برای بررسی تغییرات هدایت الکتریکی آب استفاده کردند. Salami and Ehteshami (2015) با استفاده از پارامترهای دما، pH و EC از شش مدل برای تخمین غلظت‌های اکسیژن محلول (DO)، نیاز بیولوژیکی اکسیژن (BOD) و کلرید در ۲۱۰ ایستگاه نظارتی واقع در سراسر ایران استفاده کردند. برای توسعه همه مدل‌ها، الگوریتم پیش‌خور برای آموزش و همچنین توابع لونبرگ–مارکوارت و tansign(x) به‌عنوان توابع یادگیری و انتقال استفاده شد. نتایج بیانگر دقت قابل قبول مدل‌های مورداستفاده در شبیه‌سازی مقادیر کیفی رودخانه بود. Ravansalar (2015) کارایی دو مدل شبکه عصبی مصنوعی<sup>۱</sup> (ANN) و مدل‌های ترکیبی شبکه‌های عصبی موجک<sup>۲</sup> (WANN) را برای پیش‌بینی EC ماهانه رودخانه آسی در ایستگاه سنجش دمیرکوپرو در ترکیه مورد بررسی قرار دادند. آن‌ها از داده‌های سری زمانی مقادیر EC و جریان ماهانه استفاده کردند. مقایسه مقادیر پیش‌بینی شده توسط مدل‌ها نشان داد که عملکرد مدل WANN پیشنهادی بهتر از مدل ANN معمولی است. ضریب تعیین ( $R^2$ ) برای مدل‌های WANN و ANN به ترتیب ۰/۹۴۹ و ۰/۳۸۱ بروارد شد. نتایج نشان داد که مقادیر پیک EC پیش‌بینی شده توسط مدل WANN به مقادیر مشاهده شده نزدیک‌تر است. Ahmadianfar *et al.* (2020) یک روش رگرسیون خطی با وزن محلی موجک ترکیبی (W-LWLR) را برای پیش‌بینی EC ماهانه رودخانه سفیدرود در ایران معرفی نمودند. آن‌ها از ۲۶ نمونه ماهانه دبی و EC در یک دوره ۲۰ ساله استفاده کردند. برای مقایسه عملکرد روش‌های مختلف، از LWLR مستقل، رگرسیون بردار پشتیبان (SVR)، رگرسیون بردار پشتیبان موجک (W-SVR)، مدل خودهمبسته با میانگین متحرک یکپارچه (ARIMA)، تئوری موجک آریما (W-ARIMA)، رگرسیون خطی چندمتغیره (MLR) و رگرسیون خطی چندمتغیره موجک (W-MLR) نیز بهره گرفتند. معیارهای مقایسه کلی و تحلیل خطا برتری روش پیشنهادی جدید W-LWLR را برای پیش‌بینی کیفیت آب نشان داد. Ahmadianfar *et al.* (2022) یک ترکیب تطبیقی از تکامل دیفرانسیل و بهینه‌سازی ازدحام ذرات (A-DEPSO) با مدل سیستم استنتاج فازی عصبی تطبیقی (ANFIS) برای پیش‌بینی EC ماهانه در رودخانه مارون در جنوب‌غربی ایران اتخاذ کردند. روش A-DEPSO از فرایندهای جهش W-ANFIS برای تقویت مکانیسم‌های جستجوی کلی و محلی استفاده می‌کند. نتایج پژوهش آن‌ها نشان داد که مدل A-DEPSO می‌تواند RMSE را در مقایسه با مدل مستقل ANFIS-DEPSO حدود ۸۰ درصد بهبود بخشد. Shahraki and Sayadi (2019) به منظور شبیه‌سازی پارامتر کیفی هدایت الکتریکی آب زیرزمینی دشت بهبهان از مدل‌های ANN و ANN-PSO استفاده کردند. پارامترهای EC، کلسیم، منیزیم، سولفات، بی‌کربنات، کلر، پتاسیم، سختی و اسیدیته در بازه سال‌های ۱۳۸۸ تا ۱۳۹۵ در دشت بهبهان جمع‌آوری شده و به‌عنوان ورودی مدل مورد استفاده قرار گرفتند. نتایج نشان داد بیشترین دقت پیش‌بینی پارامتر کیفی EC مربوط به مدل ANN-PSO است. با

توجه به کارایی بالای مدل شبکه عصبی مصنوعی با آموزش الگوریتم بهینه‌سازی تجمع ذرات، می‌توان از این مدل برای اتخاذ تصمیم‌های مدیریتی و حصول اطمینان از نتایج پایش و کاهش هزینه استفاده کرد.

مدل‌های دیگری که در زمینه شبیه‌سازی متغیرهای هیدرولوژیک موفق بوده‌اند، مدل‌های سری زمانی می‌باشند. این مدل‌ها نیز توانایی بالایی در شبیه‌سازی مقادیر مختلف کمی و کیفی منابع آب دارد (Ramezani *et al.*, 2019). در این میان مدل‌های غیرخطی با مدل‌سازی بخش واریانس مدل‌های خطی دقت و کارایی مدل‌های خطی را افزایش داده‌اند (Shahidi *et al.*, 2020). یکی از این مدل‌ها، مدل خودهمبسته با واریانس شرطی می‌باشد. این مدل به عنوان جایگزینی برای مدل‌های سری زمانی براساس فرض خطی بودن بین متغیرها در مراحل زمانی مختلف که نمی‌تواند وابستگی شرطی واریانس یا ناهمسانگردی بودن را به حساب آورد، توسعه داده شد. به دلیل قدرت آن در مدل‌سازی متغیرهایی که تغییرات در آن‌ها قبل توجه است، به طور گسترده مورد استفاده قرار گرفته است، به ویژه در زمینه مالی و اقتصادی (Duan, 1996; Tse and Tsui, 2002). مدل GARCH<sup>۳</sup> در شبیه‌سازی سری زمانی هیدرولوژیک کاربرد فراوانی دارد که می‌توان به مطالعات Yusof and Kane (2013)، Ramezani *et al.* (2019) و Shahidi *et al.* (2020) اشاره کرد. پارامترهای مدل GARCH با استفاده از روش حداکثر درستنمایی تخمین زده می‌شوند. مدل GARCH در واقع مدل تعمیم‌یافته خانواده ARCH<sup>۴</sup> می‌باشد. این مدل اولین بار در مطالعات اقتصاد توسط Engle (1982) معرفی و توسعه یافت. تمامی حالت‌های مختلف این مدل نیز بر پایه مدل ARCH بنا شده است.

برآورد و پیش‌بینی پارامترهای کیفی آب زیرزمینی به منظور تصمیم‌گیری‌های مدیریتی یکی از اهداف مدیران و برنامه‌ریزان منابع آب تلقی می‌شود. در این راستا تعداد زیادی مدل در زمینه مدیریت بهتر برای حفظ کیفیت آب گسترش یافته است. بیشتر این مدل‌ها نیازمند پارامترهای ورودی هستند که یا دسترسی به آن‌ها مشکل است و یا این‌که اندازه‌گیری آن‌ها محتاج صرف هزینه و زمان زیاد است. از آنجاکه دبی جریان همبستگی بالایی با مقادیر هدایت الکتریکی در رودخانه داشته و تغییرات دبی سبب تغییرات مقادیر هدایت الکتریکی می‌شود، دبی جریان به عنوان پارامتر کمکی در شبیه‌سازی هدایت الکتریکی در نظر گرفته شد. در این مطالعه در خصوص شبیه‌سازی دومتغیره مقادیر هدایت الکتریکی در محدوده زیرحوضه مهابادچای با درنظر گرفتن مقادیر دبی جریان متناظر، دقت مدل سری زمانی چندمتغیره همزمان آرما<sup>۵</sup> (CARMA)، مدل هیبریدی CARMA-GARCH و الگوریتم جنگل تصادفی موردنرسی قرار گرفت. در این راستا سعی شده است دقت و کارایی مدل هیبریدی خطی- غیرخطی سری زمانی با درنظر گرفتن ناهمسانی واریانس با دو مدل CARMA و جنگل تصادفی مقایسه شود. هیبرید مدل GARCH و CARMA جهت تکمیل ساختاری مدل CARMA صورت گرفته است. مدل CARMA میانگین سری زمانی را مدل‌سازی می‌کند، در حالی که مدل GARCH بخش واریانس باقیمانده‌ها را مدل می‌کند. در واقع با بررسی منابع مختلف در زمینه شبیه‌سازی مقادیر کمی و کیفی رودخانه، مشخص شد که در مورد شبیه‌سازی واریانس سری‌های باقیمانده این مقادیر مطالعات چندانی صورت نگرفته است. شبیه‌سازی‌های مبتنی بر الگوریتم جنگل تصادفی نیز در مطالعات مختلف رضایت بخش عنوان شده است. از این‌رو، این مطالعه به دنبال مدلی برتر در شبیه‌سازی دو متغیره دبی- هدایت الکتریکی در منطقه موردمطالعه است که مقادیر حدی را نیز پوشش دهد.

## ۲. مواد و روش‌ها

### ۲.۱. منطقه موردمطالعه

در این مطالعه از داده‌های دبی و هدایت الکتریکی در سه ایستگاه گردیعقوب، بیطاس و کوتر در حوضه آبریز میاندوآب

استفاده شده است. موقعیت منطقه موردمطالعه و ایستگاه‌های هیدرومتری در شکل (۱) نشان داده شده است. ویژگی‌های آماری تغییرات اولیه مقادیر دبی (مترمکعب بر ثانیه) و مقادیر هدایت الکتریکی (میکروزیمنس بر سانتی‌متر) در دوره آماری ۱۳۶۵ تا ۱۳۹۷ نیز در جدول (۱) ارائه شده است. با توجه به دامنه تغییرات متفاوت دبی جریان در ایستگاه‌های مختلف، از داده‌های هر سه ایستگاه جهت شبیه‌سازی دومتغیره هدایت الکتریکی استفاده شد.

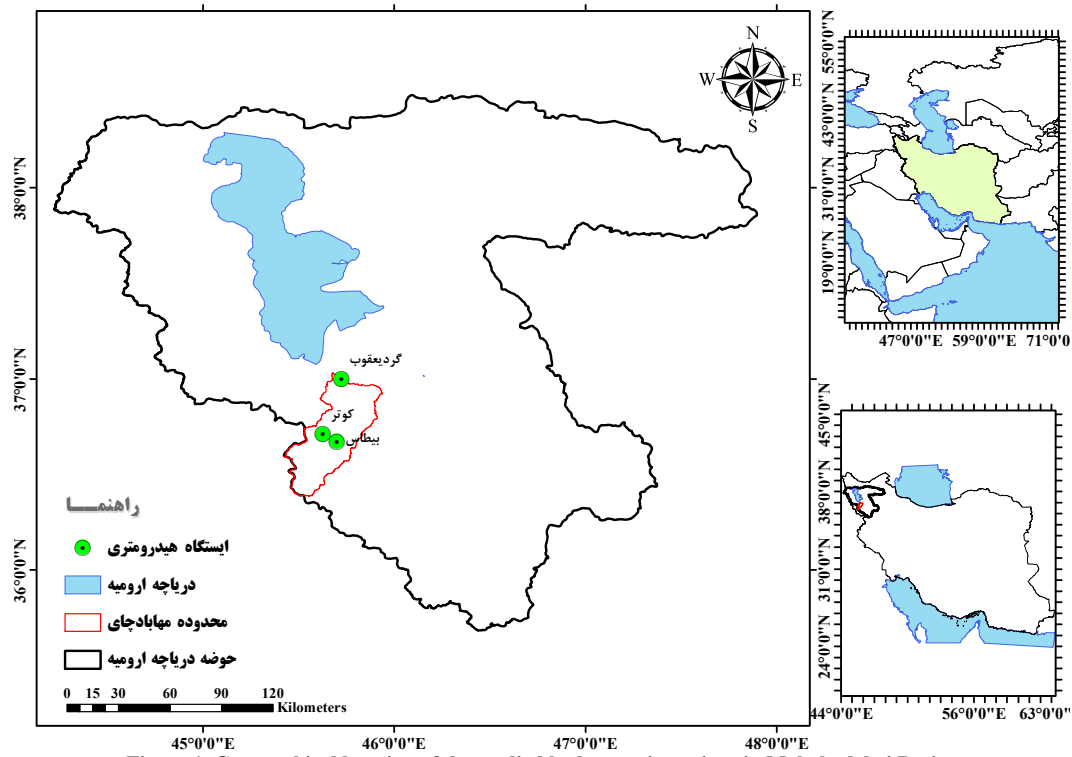


Figure 1. Geographical location of the studied hydrometric stations in Mahabadchay Basin

Table 1- Details of the studied hydrometric stations in the study area

Station	EC ( $\mu\text{S}/\text{cm}$ )					Q ( $\text{m}^3/\text{s}$ )				
	Min	Max	Mean	STD	CV	Min	Max	Mean	STD	CV
Gerdaghoub	180	1760	653.43	245.1	0.38	0.01	45.79	3.94	5.4	1.33
Kotar	137	1050	332.56	110.5	0.34	0.06	40.84	8.41	8.9	1.03
Bitas	121	700	352.96	96.9	0.28	0.001	11.68	1.40	2.2	1.62

## ۲. مدل‌های چندمتغیره آرما (همزمان آرما)

روش‌های متعددی در تجزیه و تحلیل، شبیه‌سازی و مدل‌سازی سری‌های زمانی هواشناسی و هیدرولوژیکی وجود دارد. ویژگی مدل‌های همزمان، ماتریس پارامترهای قطری است که برآورد پارامترهای آن مستقل از مدل‌های تکمتغیره است. مشکل عمده مدل‌سازی فرایندهای هیدرولوژیک در ابعاد چندمتغیره براساس مدل چندمتغیره همزمان ARMA در برآورد پارامترهای آن است. مدل CARMA (مدل همزمان انورگرسیو با میانگین متحرک) به عنوان یک جایگزین ساده برای حالت تکمتغیره توسط Salas *et al.* (1980) پیشنهاد شد. در این مدل، ماتریس پارامترهای هر دو مدل خودهمبسته و میانگین متحرک به صورت قطری فرض می‌شود، به طوری که یک مدل چندمتغیره را می‌توان مستقل از

مدل تکمتغیره ARMA دانست؛ بنابراین، بهجای برآورد پارامترهای مدل به طور مشترک، می‌توان آن‌ها را به طور مستقل برای هر ایستگاه تکمتغیره ARMA برآورد کرد. این کار باعث شناسایی بهترین مدل ARMA تکمتغیره می‌شود. لذا، اگر یک مدل کامل چندمتغیره ARMA مورداستفاده قرار گیرد، می‌توان بهجای مدل سازی ساختار وابستگی متفاوت در زمان برای هر ایستگاه، یک ساختار وابسته مشابه در زمان برای تمام ایستگاه‌ها در نظر گرفت. مدل CARMA(p,q) برای n ایستگاه به شرح زیر می‌باشد:

$$Y_t = \sum_{i=1}^p \varphi_i Y_{t-i} + \varepsilon_t - \sum_{j=1}^q \theta_j \varepsilon_{t-j} \quad (\text{رابطه ۱})$$

که در آن،  $Y_t$  یک ماتریس ستونی  $n^*$  از سری مشاهداتی  $Y_t^k$  با توزیع نرمال و میانگین صفر به نمایندگی از ایستگاه‌های مختلف  $k=1,2,\dots,n$  ماتریس قطری  $\varphi_1, \varphi_2, \dots, \varphi_n$  پارامترهای مدل اتورگرسیو (خودهمبسته) و  $\theta_1, \theta_2, \dots, \theta_q$  ماتریس قطری  $n^*n$  پارامترهای مدل میانگین متحرک است.  $\varepsilon_t$  نیز یک ماتریس  $n^*1$  داده‌های تصادفی نرمال با میانگین صفر و واریانس  $\sigma^2$  است.

$$\begin{bmatrix} Y_t^{(1)} \\ Y_t^{(2)} \\ \vdots \\ Y_t^{(n)} \end{bmatrix} = \begin{bmatrix} \varphi^{11} \varphi^{12} \dots \varphi^{1n} \\ \varphi^{21} \varphi^{22} \dots \varphi^{2n} \\ \vdots \\ \varphi^{n1} \varphi^{n2} \dots \varphi^{nn} \end{bmatrix} \begin{bmatrix} Y_{t-1}^{(1)} \\ Y_{t-1}^{(2)} \\ \vdots \\ Y_{t-1}^{(n)} \end{bmatrix} + \begin{bmatrix} \theta^{11} \theta^{12} \dots \theta^{1n} \\ \theta^{21} \theta^{22} \dots \theta^{2n} \\ \vdots \\ \theta^{n1} \theta^{n2} \dots \theta^{nn} \end{bmatrix} \begin{bmatrix} \varepsilon_t^{(1)} \\ \varepsilon_t^{(2)} \\ \vdots \\ \varepsilon_t^{(n)} \end{bmatrix} \quad (\text{رابطه ۲})$$

مدل CARMA توانایی حفظ تأخیر صفر همبستگی متقابل در فضای بین ایستگاه‌های مختلف را دارد، علاوه بر آن، وابستگی ساختار زمان برای هر ایستگاه با استفاده از پارامترهای  $p$  و  $q$  تعریف شده است (Salas et al., 1980).

## ۲.۳. مدل تعمیم‌یافته خودهمبسته با ناهمسانی شرطی

مدل خودهمبسته با ناهمسانی شرطی به عنوان جایگزینی برای مدل‌های سری زمانی براساس فرض خطی بودن بین متغیرها در مراحل زمانی مختلف که نمی‌تواند وابستگی شرطی واریانس یا ناهمسانگردی بودن را به حساب آورد، توسط Engle (1982) توسعه داده شد. به طور کلی، مدل ARCH به صورت زیر می‌باشد:

$$\varepsilon_t = \sigma_t z_t \quad (\text{رابطه ۳})$$

$$\sigma_t^2 = a_0 + \sum_{i=1}^m b_i \varepsilon_{t-i}^2$$

که در آن،  $\sigma_t^2$  برابر با واریانس شرطی،  $\varepsilon_t$  برابر با ترم خطای سری باقیمانده با میانگین صفر و واریانس یک می‌باشد.  $b_i \geq 0$  و  $a_0 \geq 0$  برابر با پارامترهای مدل،  $m$  برابر با مرتبه مدل و  $z_t$  نیز برابر با سری زمانی استاندارد شده می‌باشد (Engle, 1982). ساختار مدل ARCH را به صورت می‌توان نوشت:

$$\begin{aligned} a_t &= \sigma_t \varepsilon_t \\ \sigma_t^2 &= a_0 + a_1 a_{t-1}^2 \end{aligned} \quad (\text{رابطه ۴})$$

که  $a_1 \geq 0$  و  $a_0 \geq 0$  می‌باشد. میانگین شرطی با توجه به شرایط زیر باید برابر صفر باشد:

$$E(a_t) = E[E(a_t | F_{t-1})] = E[\sigma_t E(\varepsilon_t)] \quad (\text{رابطه ۵})$$

سپس واریانس شرطی با استفاده از رابطه (۴) برآورد می‌شود:

$$Var(a_t) = E(a_t^2) = E[E(a_t^2 | F_{t-1})] = E[a_0 + a_1 a_{t-1}^2] = a_0 + a_1 E(a_{t-1}^2) \quad (\text{رابطه ۶})$$

بنابراین براساس  $a_t$  پایدار و ثابت می‌باشد و خواهیم داشت:

$$Var(a_t) = a_0 + a_1 Var(a_{t-1}) \quad (7)$$

$$Var(a_t) = \frac{a_0}{(1 - (a_0))} \quad (8)$$

که واریانس  $a_t$  باید مثبت باشد، بنابراین دامنه تغییرات  $a_t$  باید بین صفر و یک باشد.

اگرچه مدل ARCH یک مدل ساده به حساب می‌آید، گاهی اوقات نیاز است پارامترهای مختلفی جهت مدل‌سازی برآورده شود. به همین دلیل جایگزین توسط Moffat *et al.* (2017) تعریف شد که براساس مدل Bollerslev (1992) عمل می‌کند. این مدل به عنوان مدل تعمیم‌یافته ARCH یا GARCH شناخته می‌شود. این مدل به صورت زیر می‌باشد (Nelsen, 1991):

$$a_t = \sigma_t e_t \quad (9)$$

$$\sigma_t^2 = a_0 + \sum_{i=1}^q \alpha_i a_{t-i}^2 + \sum_{j=1}^p \beta_j \sigma_{t-j}^2 \quad (10)$$

جهت تلفیق مدل‌های CARMA و GARCH، ابتدا مقادیر دبی و هدایت الکترونیکی ایستگاههای مورد مطالعه با مدل CARMA برآورد شده و سری باقیمانده مدل استخراج می‌شود. سری باقیمانده مدل CARMA با مدل‌های GARCH برآورد شده و سری باقیمانده جدید حاصل می‌شود. در نهایت سری باقیمانده جدید مستخرج از مدل GARCH به مدل CARMA اضافه می‌شود.

## ۴.۲. الگوریتم جنگل تصادفی

الگوریتم جنگل تصادفی (RF) توسط Breiman (2001) به عنوان یک روش یادگیری تجمعی برای مسائل مبتنی بر رگرسیون و خوشه‌بندی براساس توسعه درخت تصمیم، ارائه شده است. یک جنگل تصادفی، مجموعه‌ای از درخت‌های هرس نشده است که هر درخت با الگوریتم جزء‌بندی بازگشتی حاصل می‌شود. به عبارتی، جنگل تصادفی ترکیبی از چندین درخت تصمیم است که در ساخت آن چندین نمونه خودسازمان‌ده از داده‌ها شرکت دارند (Friedman *et al.*, 2001).

به منظور ایجاد درخت رگرسیونی از جزء‌بندی بازگشتی و رگرسیون‌های چندگانه استفاده می‌شود. فرایند تصمیم در هر گره داخلی از گره ریشه، طبق قانون درختی تکرار می‌شود تا زمانی که شرط توقف قبلی تعیین شده به دست آید. در روش RF بردار تصادفی  $X_n$  که مستقل از بردارهای تصادفی  $X_1, X_2, \dots, X_{n-1}$  بوده، برای درخت  $n$ ام، تولید می‌شود. هم‌چنین همه بردارها از توزیع مشابهی تبعیت می‌کنند. رگرسیون درختی با استفاده از مجموعه داده‌های آموزش و  $X_n$  محاسبه شده مجموعه درخت‌هایی برابر با  $n$  را به شرح زیر تولید می‌نماید (Breiman, 2001):

$$X_n = \{h_1(x), h_2(x), \dots, h_n(x)\} \quad (11)$$

$$h_n = h(x, X_n), x = \{x_1, x_2, \dots, x_p\} \quad (12)$$

بردار  $p$  بعدی فوق یک جنگل را تشکیل داده و خروجی‌ها برای هر درخت به صورت زیر ارائه می‌شود:

$$X_n = \{h_1(x), h_2(x), \dots, h_n(x)\} \quad (13)$$

$$\hat{y}_1 = h_1(x), \hat{y}_2 = h_2(x), \dots, \hat{y}_n = h_n(x) \quad (14)$$

که در رابطه فوق،  $\hat{y}_n$  خروجی درخت  $n$ ام می‌باشد. برای بدست‌آوردن خروجی نهایی، متوسط همه پیش‌بینی‌های درخت‌ها محاسبه می‌شود (Breiman, 2001). خطای پیش‌بینی نیز طبق رابطه (15) محاسبه می‌شود.

$$MSE = \frac{\sum_{i=1}^n [\hat{y}(x_i) - y_i]^2}{n} \quad (15)$$

در رابطه فوق،  $(x_i)$  نتایج محسوباتی،  $y_i$  نتایج مشاهداتی و  $n$  تعداد کل مشاهدات است و MSE میزان خطای بین مقادیر مشاهداتی و محسوباتی را نشان می‌دهد.

## ۲.۵. معیارهای ارزیابی مدل

برای انتخاب بهترین مدل برازشی، جذر میانگین مربعات خطأ (RMSE) (رابطه ۱۶) و معیار نش-ساتکلیف (NSE) (رابطه ۱۷) محاسبه شد. هر کدام از مدل‌های برازشی که بیشترین مقدار معیار NSE و کمترین RMSE را داشته باشند، به عنوان مدل مناسب برگزیده می‌شود.

$$RMSE = \sqrt{\frac{\sum_{i=1}^n (S_i - O_i)^2}{n-1}} \quad (16)$$

$$NSE = 1 - \frac{\sum_{i=1}^n (S_i - O_i)^2}{\sum_{i=1}^n (O_i - \bar{O}_i)^2} \quad (17)$$

که در روابط فوق،  $n$  تعداد داده‌ها،  $O_i$  مقدار نمونه مشاهداتی،  $S_i$  میانگین مقادیر نمونه‌ها و  $\bar{O}_i$  مقدار خروجی مدل مورداً زمون برای هر سری زمانی می‌باشد (Nash & Sutcliffe, 1970; Nazeri Tahroudi et al., 2021).  
جهت شبیه‌سازی مقادیر دبی و هدایت الکتریکی در ایستگاه‌های موردنظر با استفاده از مدل‌های مختلف، از ۳۱۶ داده برای آموزش و ۸۰ داده برای آزمایش مدل‌ها استفاده شد. مدل CARMA در ۱۰۰ شبیه‌سازی اجرا و نتایج شبیه‌سازی برتر توسط معیارهای ارزیابی انتخاب شد. بعد از اجرای مدل CARMA، سری باقیمانده این مدل برای ایستگاه‌های موردمطالعه استخراج و با تلفیق با مدل GARCH، مدل هیبریدی CARMA-GARCH حاصل شد. الگوریتم جنگل تصادفی نیز همانند دو مدل دیگر در دو فاز آموزش و آزمایش موردارزیابی قرار گرفت.

## ۳. نتایج و بحث

در این مطالعه با استفاده از مقادیر دبی و هدایت الکتریکی در دوره آماری ۹۷-۱۳۶۵ به شبیه‌سازی دو متغیره مقادیر هدایت الکتریکی با توجه به تغییرات دبی جریان در سه ایستگاه هیدرومتری در حوضه آبریز مهابادچای پرداخته شد. در این خصوص از مدل‌های CARMA-GARCH و جنگل تصادفی استفاده شد.

## ۳.۱. نتایج شبیه‌سازی مقادیر هدایت الکتریکی با استفاده از مدل CARMA

نتایج بررسی آماره‌های RMSE و NSE در شبیه‌سازی مقادیر هدایت الکتریکی ایستگاه‌های موردنرسی با درنظرگرفتن مقادیر دبی جریان متناظر به صورت جدول (۲) ارائه شد. نتایج شبیه‌سازی نیز در مرحله آزمایش به صورت شکل‌های (۲) تا (۴) به ترتیب برای ایستگاه‌های گردیعقوب، کوتار و بیطاس ارائه شد.

**Table 2. Results of RMSE and NSE in simulation of EC values in studied stations using CARMA model**

Stations	NSE		RMSE ( $\mu\text{S}/\text{cm}$ )	
	Train	Test	Train	Test
Gerdaghoub	0.96	0.97	50.76	43.56
Kutar	0.62	0.76	56.64	54.73
Bitas	0.64	0.79	55.09	43.49

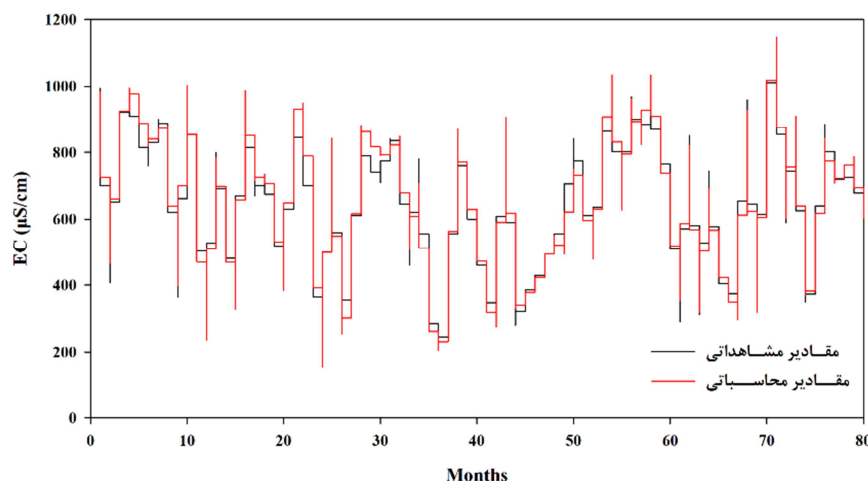


Figure 2. Results of simulation of EC values in Gerdyaghoub station using CARMA model

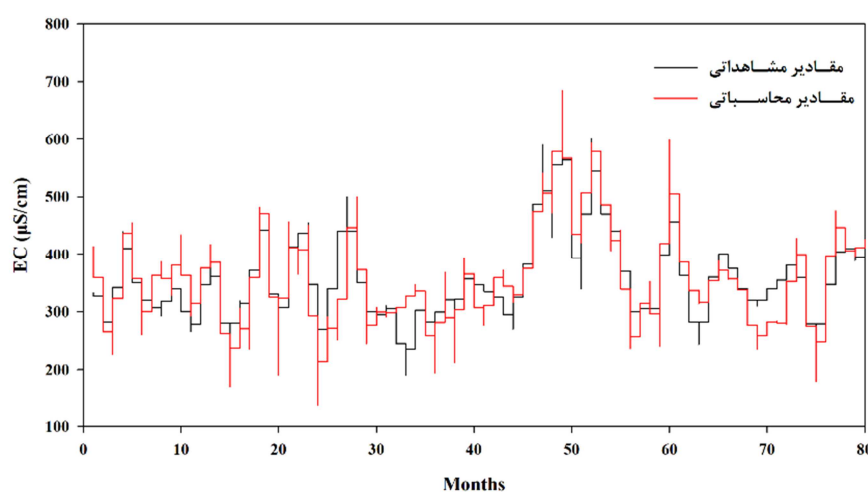


Figure 3. Results of simulation of EC values in Kutar station using CARMA model

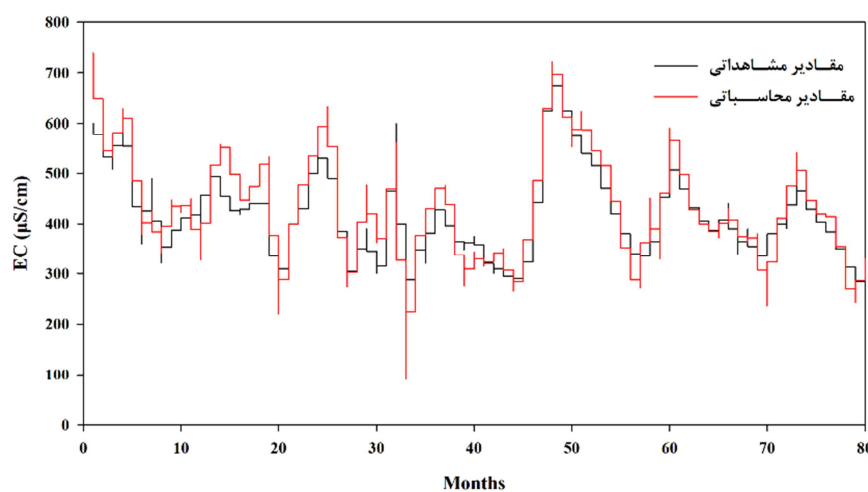


Figure 4. Results of simulation of EC values in Bitas station using CARMA model

نتایج شبیه‌سازی مقادیر هدایت الکتریکی در ایستگاه‌های مورد مطالعه با استفاده از مدل CARMA نشان داد که بهترین عملکرد و کمترین میزان خطا در ایستگاه گردیعقوب مشاهده می‌شود که کارایی ۹۶ درصد در مرحله آموزش و ۹۷ درصد در مرحله آزمایش را شامل شده است. در این بین کمترین میزان کارایی مربوط به ایستگاه کوترا با ۶۲ درصد در مرحله آزمایش بوده است. میزان خطا بین ۵۰/۷۶ تا ۵۰/۶۴ میکرو زیمنس بر سانتی‌متر در مرحله آموزش و ۵۶/۵۶ تا ۴۳/۵۶ میکرو زیمنس بر سانتی‌متر نیز میزان خطا حاصل از شبیه‌سازی مقادیر هدایت الکتریکی در منطقه مورد مطالعه با استفاده از مدل CARMA بود که با توجه به مقادیر نش-ساتکلیف، مقادیری نسبتاً قابل قبول می‌باشد. مدل CARMA با توجه به چندمتغیره‌بودن آن و همچنین شبیه‌سازی همزمان آن تأثیر پارامترهای مختلف را به خوبی در نظر گرفته و در محاسبات دخالت می‌دهد. از این‌رو، نتایج این مدل به خوبی می‌توانند جایگزینی برای مدل‌های تک متغیره باشد.

### ۲. نتایج شبیه‌سازی مقادیر هدایت الکتریکی با استفاده از مدل CARMA-GARCH

با توجه به ماهیت استوکاستیک سری‌های هواشناسی و هیدرولوژیک وجود ناهمسانی واریانس در این سری‌ها دور از انتظار نیست. به همین دلیل می‌توان عنوان کرد که استفاده از مدل‌های واریانس شرطی غیرخطی می‌تواند دقیق‌ترین مدل‌سازی‌ها را تا حدودی افزایش دهد. استفاده از مدل‌های غیرخطی نیز با تلفیق مدل‌های خطی صورت می‌گیرد. در این مطالعه بعد از بررسی مدل CARMA و شبیه‌سازی مبتنی بر آن، سری باقیمانده مدل استخراج شده و همزمان با مدل‌های GARCH برآشش یافت. نتایج شبیه‌سازی مقادیر هدایت الکتریکی در ایستگاه‌های مورد مطالعه با استفاده از مدل هیبریدی CARMA-GARCH به صورت جدول (۳) و شکل‌های (۵) تا (۷) ارائه شد.

Table 3. Results of RMSE and NSE in simulation of EC values in studied stations using CARMA-GARCH model

Stations	NSE		RMSE ( $\mu\text{S}/\text{cm}$ )	
	Train	Test	Train	Test
Gerdaghoub	0.97	0.96	45.92	48.98
Kutar	0.80	0.72	51.15	46.88
Bitas	0.72	0.85	43.15	44.98

با توجه به شکل (۵) می‌توان مشاهده کرد که در برخی نقاط کم تخمینی در شبیه‌سازی مقادیر هدایت الکتریکی در ایستگاه گردیعقوب مشاهده می‌شود. به طور کلی، در تمام دوره آماری مرحله آزمایش، دامنه تغییرات مقادیر شبیه‌سازی و مشاهداتی اختلاف زیادی ندارد. این توضیح در مورد ایستگاه‌های کوترا و بیطاس نیز صادق است. نتایج مقایسه مقادیر CARMA در دو مدل CARMA-GARCH و CARMA نشان داد که در مقایسه با مدل CARMA، مدل هیبریدی CARMA-GARCH توانسته است میزان خطا را در مرحله آموزش و آزمایش به ترتیب حدود ۹/۷ و ۱۴/۳۴ درصد در ایستگاه کوترا و ۲۱/۶۸ و ۱۵/۹۲ درصد در ایستگاه بیطاس بهبود بخشد. در ایستگاه گردیعقوب، میزان خطا ناشی از شبیه‌سازی مقادیر هدایت الکتریکی متنج از مدل CARMA-GARCH نسبت به مدل CARMA در مرحله آموزش حدود ۹/۵ درصد بهبود یافت، اما در مرحله آزمایش، بهبودی در نتایج مدل CARMA صورت نگرفت. مقادیر NSE نیز در تمامی موارد به غیر از مرحله آزمایش در ایستگاه گردیعقوب، در مدل CARMA-GARCH نسبت به مدل CARMA بهبود یافته است. مدل هیبریدی CARMA-GARCH در برگیرنده دو مدل خطی و غیرخطی می‌باشد که تمام ویژگی‌های سری‌های زمانی را در خود داشته و این موضوع سبب می‌شود نتایج به دست آمده از قطعیت خوبی برخوردار باشند. به طور کلی، نتایج بیانگر دقت قابل قبول مدل CARMA-GARCH در مقایسه با مدل CARMA بود که در شکل‌های (۴) تا (۷) نیز می‌توان اختلاف کم بین مقادیر مشاهداتی و شبیه‌سازی شده را مشاهده کرد. در

پژوهش‌های مختلفی همچون مطالعات Nazeri Tahroudi and Khalili (2017) Abbaszadeh Afshar *et al.* (2020) نیز دقت و عملکرد مدل‌های تلفیقی را نسبت به مدل‌های مرسوم بالاتر (Khashei-Siuki *et al.* 2015) و معروفی کردند. همچنین این موضوع با نتایج پژوهش‌های Laux *et al.* (2005) و Wang *et al.* (2011) مطابقت دارد.

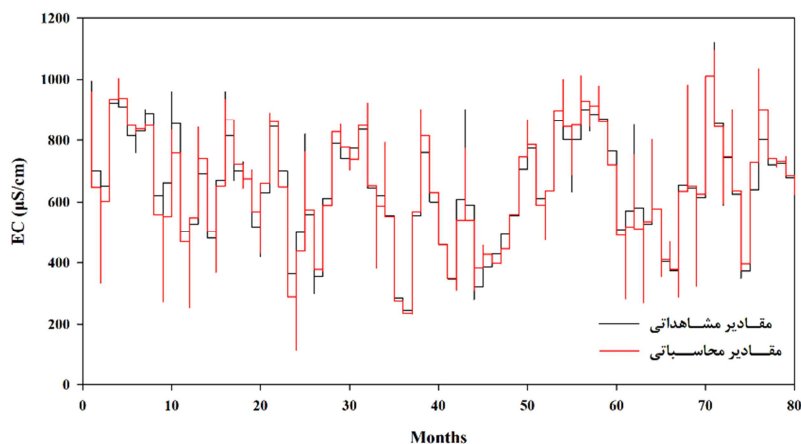


Figure 5. Results of simulation of EC values in Gerdyaghoub station using CARMA-GARCH model

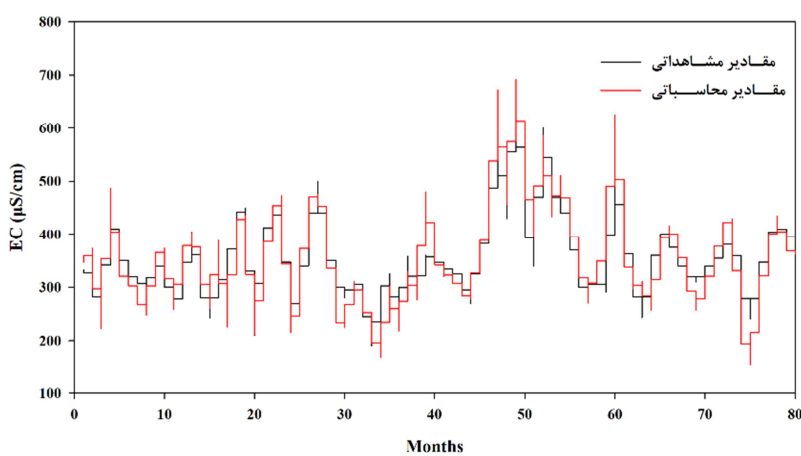


Figure 6. Results of simulation of EC values in Kutar station using CARMA-GARCH model

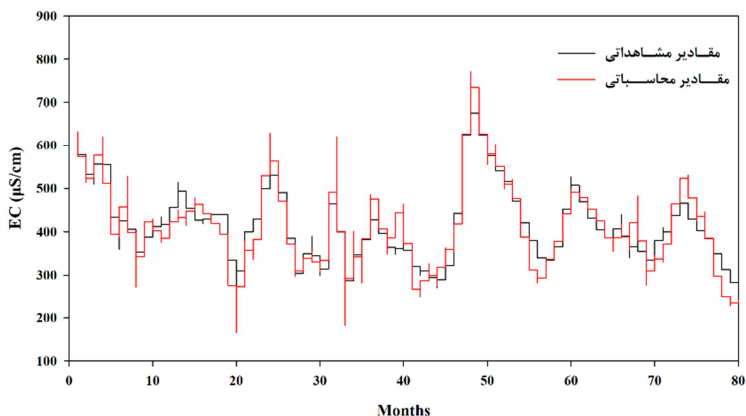


Figure 7. Results of simulation of EC values in Bitas station using CARMA-GARCH model

### ۳. نتایج شبیه‌سازی مقادیر هدایت الکتریکی با استفاده از الگوریتم جنگل تصادفی

مدل سوم مورددبررسی در این پژوهش، الگوریتم جنگل تصادفی می‌باشد. در این مدل نیز همانند مدل‌های مورددبررسی، از ۳۱۸ داده برای آزمایش و از ۸۰ داده برای آزمایش مدل استفاده شد. نتایج بررسی الگوریتم جنگل تصادفی در شبیه‌سازی مقادیر هدایت الکتریکی با درنظرگرفتن مقادیر دبی جریان متناظر به صورت جدول (۴) و شکل‌های (۸) تا (۱۰) ارائه شد. می‌توان مشاهده کرد که در برخی ماهها، مقادیر شبیه‌سازی شده بیشتر و کمتر از مقادیر مشاهداتی می‌باشد که این موضوع در دو مدل CARMA و CARMA-GARCH کمتر از الگوریتم جنگل تصادفی مشاهده می‌شود. در مقایسه با مدل CARMA و CARMA-GARCH این مدل مقادیر RMSE بیشتری را ارائه کرده است. مقادیر کارایی مدل با توجه به جدول (۴) نیز نشان‌دهنده کارایی ضعیفتر الگوریتم جنگل تصادفی نسبت به دو مدل دیگر می‌باشد.

Table 4. Results of RMSE and NSE in simulation of EC values in studied stations using Random Forest model

Stations	NSE		RMSE ( $\mu\text{S}/\text{cm}$ )	
	Train	Test	Train	Test
Gerdaghoub	0.95	0.69	53.66	50.00
Kutar	0.67	0.63	66.68	53.48
Bitas	0.53	0.79	62.88	53.52

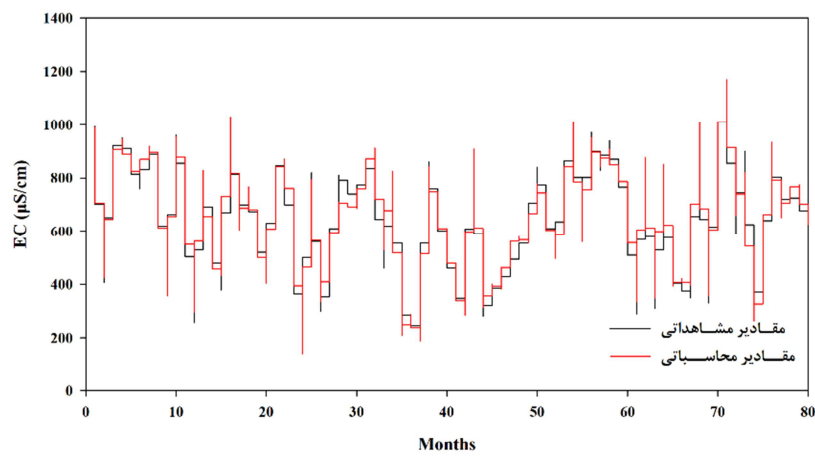


Figure 8. Results of simulation of EC values in Gerdaghoub station using Random Forest model

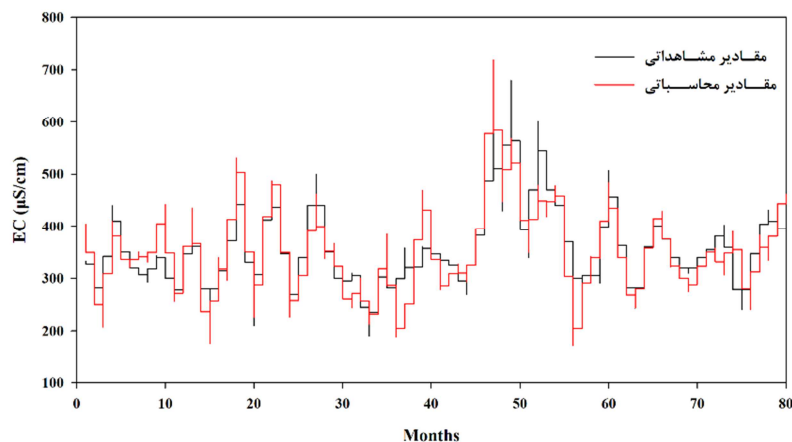


Figure 9. Results of simulation of EC values in Kutar station using Random Forest model

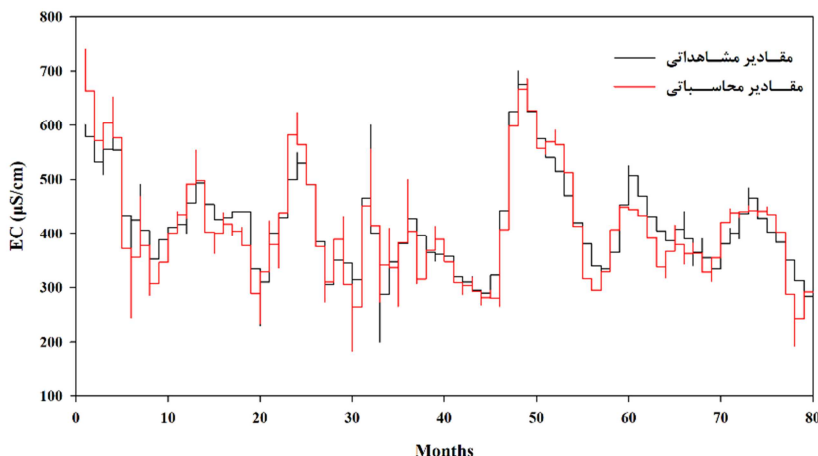


Figure 10. Results of simulation of EC values in Bitas station using Random Forest model

جهت مقایسه نتایج سه مدل موردنظری در خصوص شبیه‌سازی دومتغیره مقادیر هدایت الکتریکی با درنظرگرفتن دبی متواظر، از نمودار ویالونی استفاده شد. نمودار ویالون جهت بررسی قطعیت مدل‌های مختلف در مقایسه با مقادیر مشاهداتی استفاده می‌شود. نمودار ویالونی مقادیر مشاهداتی و شبیه‌سازی شده با استفاده از مدل‌های موردنظری، به صورت شکل‌های (۱۱) تا (۱۳) ارائه شد. دایره سفیدرنگ بیانگر میانه داده‌ها و مستطیل سیاهرنگ نیز عدمه تغییرات داده‌ها را نشان می‌دهد. حد بالای مستطیل سیاهرنگ چارک سوم داده‌ها و حد پایین مستطیل سیاهرنگ چارک اول داده‌هاست (Hintze and Nelson, 1998; Jafarzadeh et al., 2021).

با توجه به شکل‌های (۱۱) تا (۱۳) می‌توان مشاهده کرد که تغییرات کلی مقادیر موردنظری در حالت شبیه‌سازی شده در ایستگاه‌های موردمطالعه قابل قبول می‌باشد. از آنجایی که نمودارهای ارائه شده در حالت کلی برای بررسی قطعیت مدل‌سازی استفاده می‌شوند، قطعیت هر سه مدل در شبیه‌سازی مقادیر هدایت الکتریکی با درنظرگرفتن مقادیر دبی جریان، تقریباً قابل قبول می‌باشد.

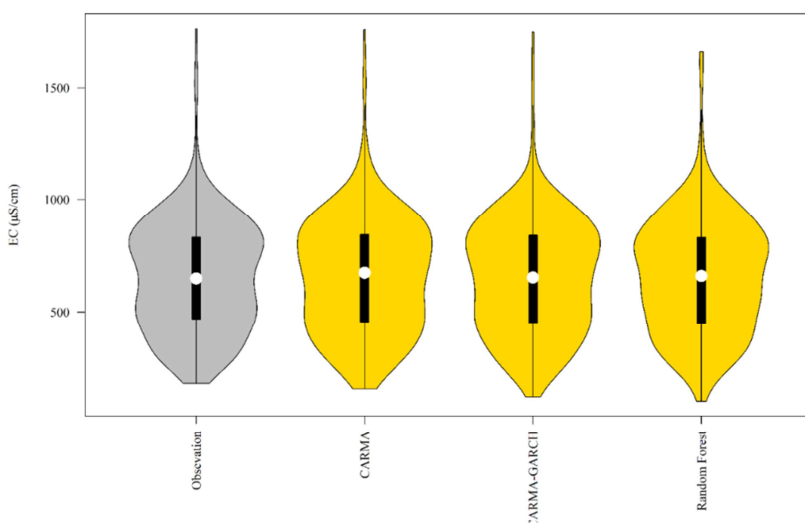
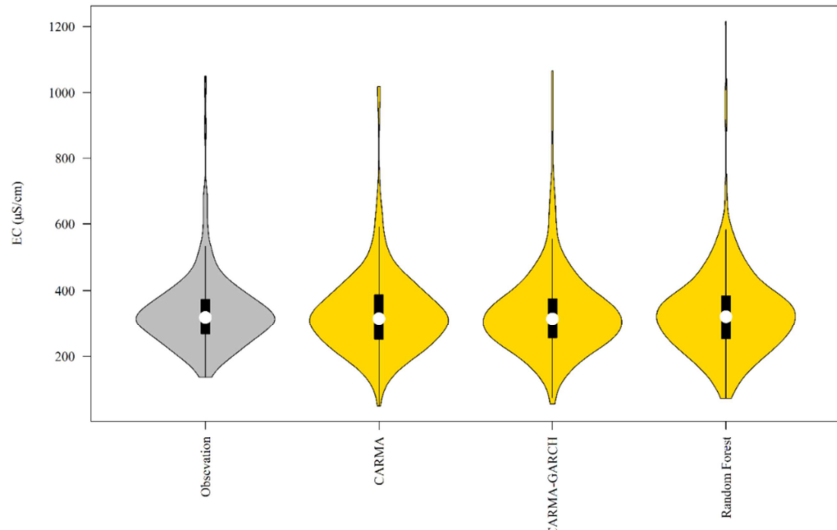
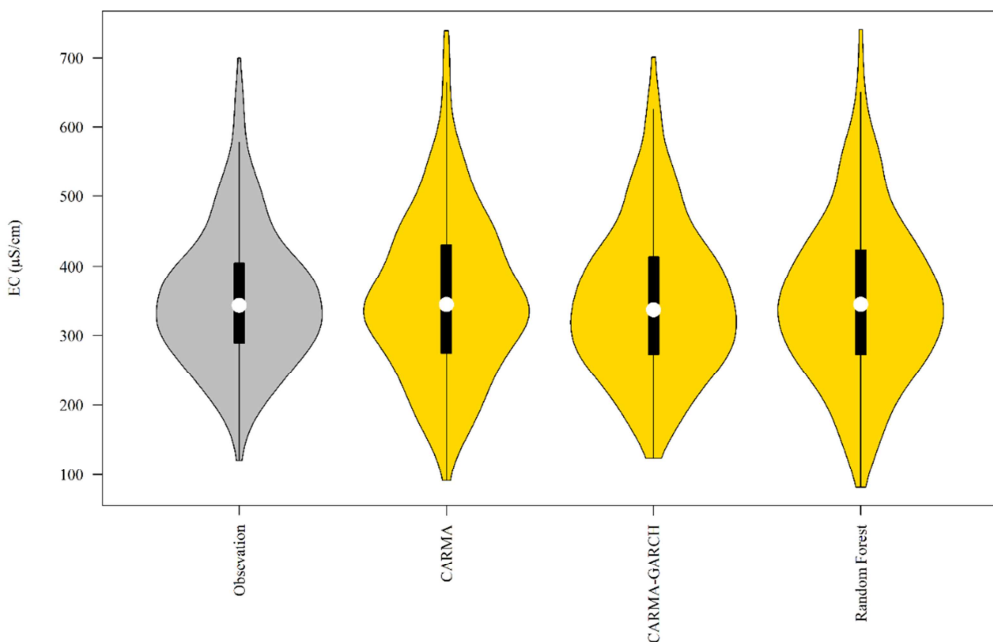


Figure 11. Violin plot of simulation of EC values given by corresponding discharge values at Gerdaghoub station using the studied models



**Figure 12. Violin plot of simulation of EC values given by corresponding discharge values at Kutar station using the studied models**



**Figure 13. Violin plot of simulation of EC values given by corresponding discharge values at Bitas station using the studied models**

با توجه به شکل (۱۱) می‌توان مشاهده کرد که الگوریتم جنگل تصادفی در شبیه‌سازی مقادیر هدایت الکتریکی کمینه را نسبت به دو مدل دیگر کمتر برآورد کرده است. مدل CARMA تغییراتی مشابه با مقادیر شبیه‌سازی دارد که نشان‌دهنده برتری مدل CARMA نسبت به دو مدل دیگر در شبیه‌سازی مقادیر هدایت الکتریکی می‌باشد. این در حالی است که متوسط تغییرات مقادیر هدایت الکتریکی در ایستگاه هیدرومتری گردیعقوب توسط هر سه مدل به نحو احسن است. شکل (۱۲) نیز تغییرات مقادیر شبیه‌سازی شده و مشاهداتی را در ایستگاه کوترا نشان می‌دهد. با توجه به مدل شده است. شکل (۱۲) نیز تغییرات مقادیر شبیه‌سازی شده و مشاهداتی را در ایستگاه کوترا نشان می‌دهد.

این شکل، مقادیر خارج از دامنه تغییرات مقادیر مشاهداتی توسط الگوریتم جنگل تصادفی تولید شده است. در این ایستگاه با توجه به فرم تغییرات مقادیر مشاهدات و محاسباتی می‌توان مشاهده کرد که قطعیت مدل-CARMA-GARCH به مراتب بهتر از دو الگوریتم جنگل تصادفی و CARMA می‌باشد که آماره‌های ارزیابی نیز این موضوع را تأیید کردنده. در شکل (۱۳) نیز به خوبی می‌توان تطابق کامل مقادیر شبیه‌سازی شده و مشاهداتی هدایت الکترونیکی را در ایستگاه هیدرومتری بیطاس مشاهده کرد. به طور کلی نتایج بررسی شکل‌های (۱۱) تا (۱۳) نشان داد که مدل‌های موردمطالعه به خوبی میانه داده‌های مشاهداتی را شبیه‌سازی کرده‌اند. چارک‌های اول و سوم نیز در شکل‌های (۱۱) و (۱۲) (ایستگاه‌های گردیعقوب و کوترا) نسبت به ایستگاه بیطاس به مقادیر مشاهداتی نزدیک‌تر است.

#### ۴. نتیجه‌گیری

در این مطالعه با استفاده از داده‌های دیجیتال و هدایت الکترونیکی در مقیاس ماهانه در دوره آماری ۹۷-۱۳۶۵ به شبیه‌سازی دومتغیره مقادیر هدایت الکترونیکی در ایستگاه‌های گردیعقوب، بیطاس و کوترا پرداخته شد. در این خصوص از مدل‌های خطی سری زمانی شامل مدل CARMA و مدل هیبریدی CARMA-GARCH و الگوریتم جنگل تصادفی استفاده شد. در هر سه مدل از ۳۱۶ داده برای آزمایش و از ۸۰ داده برای آزمایش مدل‌ها استفاده شد. نتایج بررسی میزان خطای مدل یا استفاده از آماره جذر میانگین مربعات خطای بیانگر دقت بالای مدل CARMA-GARCH در تمامی حالت‌ها (به غیر از مرحله آزمایش ایستگاه گردیعقوب) نسبت به دو مدل دیگر بود. مدل غیرخطی GARCH به دلیل مدل‌سازی بخش واریانس مدل‌های خطی سری زمانی، ضمن افزایش قطعیت مدل، دقت نتایج شبیه‌سازی‌ها را افزایش می‌دهد. مدل CARMA-GARCH توانست مقادیر نش-ساتکلیف را در مرحله آزمایش در ایستگاه‌های گردیعقوب، کوترا و بیطاس به ترتیب حدود ۰/۸۰، ۰/۸۶ و ۰/۸۵ درصد بهبود بخشد. در مقایسه با دو مدل CARMA-GARCH و CARMA، الگوریتم جنگل تصادفی عملکرد ضعیفتری ارائه کرد. اگرچه دقت و میزان عملکرد این مدل نیز با توجه به نمودارهای ویالونی ارائه شده قابل قبول بود. در مورد جنگل تصادفی کمی بیش‌تخمینی در ایستگاه‌های بیطاس و کوترا و کمی کم‌تخمینی در ایستگاه گردیعقوب مشاهده شد. در مرحله آزمایش، میزان خطای مدل CARMA-GARCH در ایستگاه‌های موردمطالعه نسبت به مدل CARMA و جنگل تصادفی به ترتیب به طور متوسط حدود ۱۴ و ۲۳ درصد کمتر می‌باشد. به طور کلی، نتایج بیانگر دقت و عملکرد بهتر مدل‌های سری زمانی (خطی و تلفیقی) نسبت به الگوریتم جنگل تصادفی در شبیه‌سازی دومتغیره مقادیر هدایت الکترونیکی در منطقه موردمطالعه بود. با توجه به داده محوربودن مدل‌های موردبرسی در این پژوهش و همچنین ارتقا مدل در دو سطح (مدل‌سازی میانگین و مدل‌سازی واریانس)، هیچ محدودیتی در خصوص نوع داده و نوع اقلیم وجود ندارد.

#### ۵. پی‌نوشت‌ها

1. Artificial Neural Network
2. Wavelet Artificial Neural Network
3. Generalized Autoregressive Conditional Heteroskedasticity
3. Autoregressive Conditional Heteroskedasticity
4. Contemporaneous Autoregressive Moving Average

#### ۶. تعارض منافع

هیچ‌گونه تعارض منافع توسط نویسنده‌گان وجود ندارد.

## ۷. منابع مورد استفاده

- Abbaszadeh Afshar, M., Behmanesh, J., Khalili, K., & Nazeri Tahroudi, M. (2017). Evaluation of the Combined AR-ARCH and GAR-ARCH Models in Modeling Rivers Flow Rate (Case Study: Zarineh River in West Azerbaijan). *Journal of Water and Soil Conservation*, 23(6), 181-197. (In Persian).
- Ahmadianfar, I., Jamei, M., & Chu, X. (2020). A novel hybrid wavelet-locally weighted linear regression (W-LWLR) model for electrical conductivity (EC) prediction in surface water. *Journal of Contaminant Hydrology*, 232, 103641.
- Ahmadianfar, I., Shirvani-Hosseini, S., He, J., Samadi-Koucheksaraee, A., & Yaseen, Z. M. (2022). An improved adaptive neuro fuzzy inference system model using conjoined metaheuristic algorithms for electrical conductivity prediction. *Scientific Reports*, 12(1), 1-34.
- Bollerslev, T., Chou, R. Y., & Kroner, K. F. (1992). ARCH modeling in finance. A selective review of the theory and empirical evidence. *Journal of Econometrics*, 52, 5-59.
- Breiman, L. (2001). *Random Forests. Machine Learning*, 45(1), 5-32.
- Duan, J. C. (1996). *A unified theory of option pricing under stochastic volatility-from GARCH to diffusion*. Hong Kong University of Science and Technology.
- Engle, R. F. (1982). Autoregressive conditional heteroscedasticity with estimates of the variance of United Kingdom inflation. *Econometrica: Journal of the Econometric Society*, 987-1007.
- Friedman, J., Hastie, T., & Tibshirani, R. (2001). *The elements of statistical learning*. New York: Springer series in statistics.
- Hintze, J. L., & Nelson, R. D. (1998). Violin plots: a box plot-density trace synergism. *The American Statistician*, 52(2), 181-184.
- Jafarzadeh, A., Pourreza-Bilondi, M., Khashei Siuki, A., & Ramezani Moghadam, J. (2021). Examination of various feature selection approaches for daily precipitation downscaling in different climates. *Water Resources Management*, 35(2), 407-427.
- Khashei-Siuki, A., Shahidi, A., Ramezani, Y., Nazeri Tahrudi, M. (2020). Forecasting the groundwater monitoring network using hybrid time series models (Case study:Nalochay). *Journal of Water and Soil Conservation*, 27(3), 85-103. (In Persian).
- Laux, P., Vogl, S., Qiu, W., Knoche, H. R., & Kunstmann, H. (2011). Copula-based statistical refinement of precipitation in RCM simulations over complex terrain. *Journal of Hydrology and Earth System Sciences*, 15(4), 2401-2419.
- Moffat, I. U., Akpan, E. A., & Abasiekwere, U. A. (2017). A time series evaluation of the asymmetric nature of heteroscedasticity: an EGARCH approach. *International Journal of Statistics and Applied Mathematics*, 2(6), 111-117.
- Nash, J. E., & Sutcliffe, J. V. (1970). River flow forecasting through conceptual models part I-A discussion of principles. *Journal of Hydrology*, 10(3), 282-290.
- Nazeri Tahroudi, M., & Khalili, K. (2015). Comparing Combined Arma-Parch and Arma-Arch Models for Modeling Peak Flow Discharge (Case Study: Siminehrood River in The West Azarbaijan Province). *Water and Soil Science (Agricultural Science)*, 25(4/1), 113-127. (In Persian).
- Nazeri Tahroudi, M., Ramezani, Y., De Michele, C., & Mirabbasi, R. (2021). Flood routing via a copula-based approach. *Hydrology Research*, 52(6), 1294-1308.
- Nelson, D. B. (1991). Conditional heteroskedasticity in asset returns: A new approach. *Econometrica: Journal of the Econometric Society*, 347-370.
- Ramezani, Y., Nazeri Tahroudi, M., & Ahmadi, F. (2019). Analyzing the droughts in Iran and its eastern neighboring countries using copula functions. *Journal of the Hungarian Meteorological Service*, 123(4), 435-453.
- Ravansalar, M., & Rajaei, T. (2015). Evaluation of wavelet performance via an ANN-based electrical conductivity prediction model. *Environmental Monitoring and Assessment*, 187(6), 1-16.

- Salami, E. S., & Ehteshami, M. (2015). Simulation, evaluation and prediction modeling of river water quality properties (case study: Ireland Rivers). *International Journal of Environmental Science and Technology*, 12(10), 3235-3242.
- Salas, J. D., Delleur, J. W., Yevjevich, V., & Lane, W. L. (1980). *Applied Modeling of Hydrologic Time Series*. Water Resource Publications, P.O.Box 2841. Littleton, Colorado.80161, U.S.A. 484 P.
- Sayadi Shahraki, A., & Sayadi Shahraki, F. (2019). Simulation of Electrical Conductivity of Behbahan Plain Using ANN and ANN-PSO Models. *Journal of Water and Wastewater Science and Engineering*, 4(1), 34-41. (In Persian).
- Shahidi, A., Ramezani, Y., Nazeri-Tahroudi, M., & Mohammadi, S. (2020). Application of vector autoregressive models to estimate pan evaporation values at the Salt Lake Basin, Iran. *Journal of the Hungarian Meteorological Service*, 124(4), 463-482.
- Thakur, A. K., Singh, V. P., & Ojha, C. S. P. (2012). Evaluation of a probabilistic approach to simulation of alkalinity and electrical conductivity at a river bank filtration site. *Hydrological Processes*, 26(22), 3362-3368.
- Tse, Y. K., & Tsui, A. K. C. (2002). A multivariate generalized autoregressive conditional heteroscedasticity model with time-varying correlations. *Journal of Business & Economic Statistics*, 20(3), 351-362.
- Wang, W., Van Gelder, P. H. A. J. M., Vrijling, J. K., & Ma, J. (2005). Testing and modeling autoregressive conditional heteroskedasticity of streamflow processes. *Nonlinear processes in Geophysics*, 12(1), 55-66.
- Yusof, F., & Kane, I. L. (2013). Volatility modeling of rainfall time series. *Theoretical and Applied Climatology*, 113(1-2), 247-258.